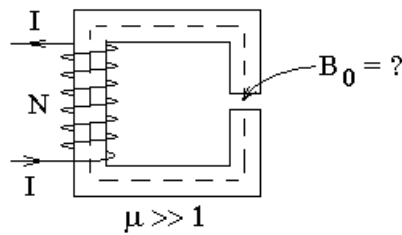


Экзамен. 3. Магнитное поле в зазоре сердечника ($\mu \gg 1$).



Дано: N — число витков обмотки, I — сила тока в каждом витке, $\mu \gg 1$ — магнитная проницаемость сердечника, l — длина сердечника, h — ширина зазора, где $h \ll \sqrt{S}$ и тем более $h \ll l$.

Найти магнитное поле в зазоре B_0 .

Решение.

Линии поля \vec{B} идут вдоль оси сердечника, вдоль пунктирной линии. Следовательно, линии поля \vec{B} в зазоре сердечника перпендикулярны краям зазора. На краю зазора $B_{2n} - B_{1n} = 0$, откуда следует, что магнитное поле B в сердечнике равно магнитному полю B_0 в зазоре:

$$B = B_0.$$

Рассмотрим циркуляцию поля \vec{H} вдоль оси сердечника.

$$\oint_l H_l dl = \frac{4\pi}{c} I \quad \Rightarrow \quad lH + hH_0 = \frac{4\pi}{c} NI, \quad \text{где} \quad \begin{cases} H = \frac{B}{\mu} \\ H_0 = B_0 \end{cases}, \quad \text{тогда}$$

$$\frac{B}{\mu} l + B_0 h = \frac{4\pi}{c} NI, \quad \text{и с учетом } B = B_0 \text{ получаем}$$

$$\frac{B_0}{\mu} l + B_0 h = \frac{4\pi}{c} NI \quad \Rightarrow$$

$$B_0 = \frac{4\pi\mu NI}{c \cdot (l + \mu h)}, \quad \text{где } \mu \text{ — магнитная проницаемость сердечника; } N \text{ —}$$

число витков катушки, намотанной на сердечник; I — сила тока в катушке; l — длина сердечника; h — ширина зазора.

Пусть теперь зазор настолько мал, что $\mu h \ll l$ несмотря на то, что $\mu \gg 1$.

$$\text{Тогда } B_0 \approx \frac{4\pi\mu NI}{cl} \sim \mu.$$

При условии $\mu \gg 1$ — это способ получения сильного магнитного поля в небольшом объеме.

$$\text{В системе СИ: } B_0 = \frac{\mu_0 \mu NI}{l + \mu h} \approx \frac{\mu_0 \mu NI}{l}.$$

Факультатив. Силы, действующие на линейный магнетик в магнитном поле.

Аналогично объемной плотности сил в диэлектрике

$$\vec{f} \equiv \frac{d\vec{F}}{dV} = \frac{1}{8\pi} \vec{\nabla} \left(\left(\frac{\partial \varepsilon}{\partial \tau} \right)_T \tau E^2 \right) - \frac{E^2}{8\pi} \vec{\nabla} \varepsilon$$

можно доказать формулу для объемной плотности сил в намагниченной среде

$$\vec{f} \equiv \frac{d\vec{F}}{dV} = \frac{1}{8\pi} \vec{\nabla} \left(\left(\frac{\partial \mu}{\partial \tau} \right)_T \tau H^2 \right) - \frac{H^2}{8\pi} \vec{\nabla} \mu, \text{ где } \tau \text{ — плотность среды.}$$

Приближенному выражению для электрического поля

$$\vec{f} \approx \frac{\varepsilon - 1}{8\pi} \vec{\nabla} (E^2)$$

соответствует выражение для магнитного поля

$$\vec{f} \approx \frac{\mu - 1}{8\pi} \vec{\nabla} (H^2).$$

Из формулы $\vec{f} \approx \frac{\mu - 1}{8\pi} \vec{\nabla} (H^2)$ видно, что парамагнетики и ферромагнетики втягиваются в магнитное поле, так как для них $\mu > 1$, а диамагнетики $\mu < 1$ выталкиваются из магнитного поля, хотя и очень слабо.

Факультатив. Силы, действующие на постоянный магнит в магнитном поле.

Намагниченность однозначно определяет связанные токи на поверхности магнита: $M_\tau = \frac{i'}{c}$.

На связанные токи в магнитном поле действует сила Ампера $d\vec{F} = \frac{I'}{c} [d\vec{l}, \vec{B}]$. Эти силы и представляют собой силы, действующие на постоянный магнит в магнитном поле.

Другой и, как правило, наиболее простой способ найти силы, действующие на постоянный магнит в магнитном поле, состоит в том, чтобы найти силы, действующие на магнитные заряды, которых на самом деле нет.

Сила, действующая на заряд, равна произведению величины заряда на напряженность внешнего по отношению к заряду поля $\vec{H}_{\text{внешнее}} = \vec{B}_{\text{внешнее}}$:

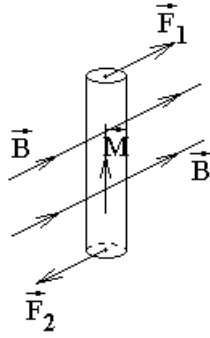
$$\vec{F} = q'_m \vec{B}_{\text{внешнее}} = M_n S \cdot \vec{B}_{\text{внешнее}}.$$

Здесь M_n — нормальная составляющая намагниченности; S — площадь участка поверхности магнита. Здесь можно рассматривать магнитное поле не только внешнее по отношению к магнитному заряду, но и ко всему магниту, так как внутренние силы между магнитными зарядами нас не интересуют.

Рассмотрим два примера сил, действующих на намагниченную среду.

Пример 1. Силы, действующие на стрелку компаса.

Пусть для простоты стрелка имеет форму длинного цилиндра.

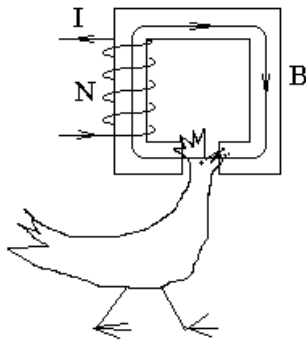


Здесь $\vec{F}_1 = q_m \cdot \vec{B} = MS \cdot \vec{B}$, $\vec{F}_2 \approx -\vec{F}_1$.

Стрелка стремится повернуться по полю.

Пример 2.

Голова петуха в магнитном поле.



Квазистационарное электромагнитное поле.

Экзамен. Закон электромагнитной индукции Фарадея.

$\mathcal{E}_{инд} = -\frac{1}{c} \cdot \frac{d\Phi_B}{dt}$ — закон электромагнитной индукции Фарадея. При

изменении потока Φ_B магнитного поля \vec{B} через контур в контуре возникает ЭДС индукции $\mathcal{E}_{инд}$.

В системе СИ: $\mathcal{E}_{инд} = -\frac{d\Phi_B}{dt}$.

ЭДС возникает, если поток Φ_B изменяется по любым причинам. ЭДС возникает, если контур перемещается, поворачивается, деформируется, и если контур неподвижен, а поток Φ_B изменяется за счет изменения магнитного поля \vec{B} .

Половину закона можно доказать. Пусть поле \vec{B} не зависит от времени, а контур перемещается или деформируется. При перемещении элемента контура свободные заряды проводника перемещаются вместе с ним. На движущиеся заряды в магнитном поле действует сила Лоренца.

Пусть $d\vec{l}'$ — отрезок вдоль контура или элемент контура, пусть $d\vec{l}$ — перемещение отрезка $d\vec{l}'$. И пусть для простоты $d\vec{l} \perp d\vec{l}'$ и $\vec{B} \perp d\vec{l}'$. Тогда сила Лоренца направлена вдоль проводника $\vec{F} = \frac{q}{c} \cdot [\vec{V}, \vec{B}] \parallel d\vec{l}'$, где $\vec{V} = \frac{d\vec{l}}{dt} \parallel d\vec{l}$.

Если рассматривать эту силу как стороннюю, то интеграл по контуру от напряженности этой силы равен ЭДС — ЭДС индукции.

Рассмотрим то же самое количественно.

Пусть теперь поле \vec{B} и перемещение $d\vec{l}$ произвольно ориентированы относительно элемента контура $d\vec{l}'$.

$$\vec{E}_{стор} \equiv \frac{\vec{F}_{стор}}{q} = \frac{\vec{F}_L}{q} = \frac{q}{c} \cdot [\vec{V}, \vec{B}] = \frac{1}{c} \cdot [\vec{V}, \vec{B}] \quad \Rightarrow$$

$$\mathcal{E}_{инд} = \mathcal{E} \equiv \oint_{l'} (\vec{E}_{стор}, d\vec{l}') = \oint_{l'} \left(\frac{1}{c} \cdot [\vec{V}, \vec{B}], d\vec{l}' \right)$$

$\vec{V} = \vec{V}_1 + \vec{V}_2$ — скорость движения свободных зарядов, \vec{V}_1 — скорость движения проводника, \vec{V}_2 — скорость движения зарядов относительно проводника.

$\vec{V}_2 \parallel d\vec{l}'$, так как заряды движутся вдоль проводника, тогда

$$\frac{1}{c} \cdot [\vec{V}_2, \vec{B}] \perp \vec{V}_2 \parallel d\vec{l}' \quad \Rightarrow \quad \left(\frac{1}{c} \cdot [\vec{V}_2, \vec{B}], d\vec{l}' \right) = 0 \quad \Rightarrow$$

\vec{V}_2 не дает вклад в ЭДС. Следовательно,

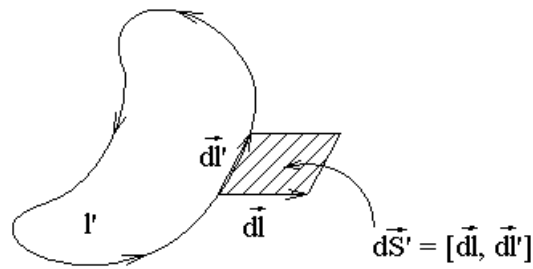
$$\mathcal{E}_{инд} = \frac{1}{c} \cdot \oint_{l'} \left([\vec{V}_1, \vec{B}], d\vec{l}' \right)$$

Подставим сюда $\vec{V}_1 = \frac{d\vec{l}}{dt}$, где $d\vec{l}$ — перемещение элемента контура $d\vec{l}'$.

$$\mathcal{E}_{инд} = \frac{1}{c} \cdot \oint_{l'} \left(\left[\frac{d\vec{l}}{dt}, \vec{B} \right], d\vec{l}' \right) = \frac{1}{cdt} \oint_{l'} \left([d\vec{l}, \vec{B}], d\vec{l}' \right) = \frac{1}{cdt} \oint_{l'} \left([d\vec{l}', d\vec{l}], \vec{B} \right),$$

здесь в последнем равенстве сделана циклическая перестановка векторов в смешанном скалярно–векторном произведении, которая не изменяет его величину.

$$[d\vec{l}', d\vec{l}] = -d\vec{S}', \text{ так как}$$



$$\mathcal{E}_{\text{инд}} = -\frac{1}{c} \oint_{l'} \left(\vec{B}, d\vec{S}' \right)$$

С учетом того, что $d\Phi_B = (\vec{B}, d\vec{S}')$, получим

$$\mathcal{E}_{\text{инд}} = -\frac{1}{c} \oint_{l'} d\Phi_B.$$

Здесь сумма изменений потока магнитного поля для каждого из элементов контура равна изменению потока магнитного поля для всего контура:

$$\oint_{l'} d\Phi_B = d\Phi_B, \text{ тогда}$$

$$\mathcal{E}_{\text{инд}} = -\frac{1}{c} \cdot \frac{d\Phi_B}{dt} \text{ — одна половина закона Фарадея доказана.}$$

Вторую половину закона при неподвижном контуре и переменном магнитном поле мы доказать не можем. Вторая половина — опытный факт, поэтому — закон Фарадея, а не теорема.

Факультатив. Парадокс.

По теореме о потоке магнитного поля $\Phi_B = 0 \Rightarrow$

$$\mathcal{E}_{\text{инд}} = -\frac{1}{c} \cdot \frac{d\Phi_B}{dt} = 0 \text{ — ЭДС индукции всегда равна нулю, то есть никакой}$$

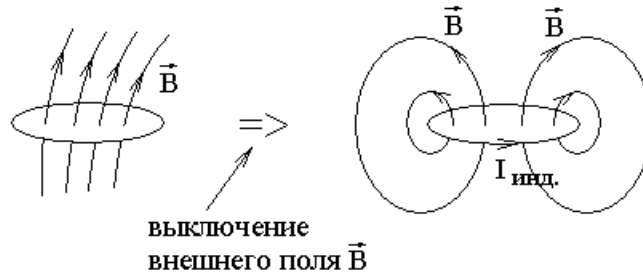
ЭДС индукции не бывает?

Разрешение парадокса в том, что в теореме о потоке магнитного поля поток равен нулю $\Phi_B = 0$ только для замкнутой поверхности. А в выражении для ЭДС индукции рассматривается поток магнитного поля через незамкнутую поверхность, опирающуюся краями на контур, в котором возникает ЭДС индукции. Этот поток может быть отличен от нуля и не зависит от формы поверхности, которая опирается на контур.

Экзамен. Правило Ленца.

Индукционный ток имеет такое направление, что он ослабляет действие причины, вызывающей индукционный ток.

В частности, при выключении магнитного поля в проводящем контуре возникает ток индукции, который стремится сохранить поток Φ_B .



Экзамен. Интерпретация Максвелла половины закона электромагнитной индукции Фарадея.

Максвелл предположил, что изменение магнитного поля вызывает появление вихревого электрического поля, и это поле приводит к появлению $\mathcal{E}_{инд}$.

Рассмотрим два выражения для ЭДС индукции.

С одной стороны:

$$\mathcal{E}_{инд} \equiv \oint_l (\vec{E}_{стор}, d\vec{l}) = \oint_l (\vec{E}, d\vec{l}), \quad \text{где по предположению Максвелла}$$

$\vec{E}_{стор} = \vec{E}$. По теореме Стокса $\oint_l (\vec{E}, d\vec{l}) = \int_S (rot(\vec{E}), d\vec{S})$, тогда

$$\mathcal{E}_{инд} = \int_S (rot(\vec{E}), d\vec{S}).$$

С другой стороны по закону Фарадея:

$$\mathcal{E}_{инд} = -\frac{1}{c} \cdot \frac{d\Phi_B}{dt} = -\frac{1}{c} \cdot \frac{\partial\Phi_B}{\partial t}, \quad \text{здесь полная производная по времени}$$

заменена частной, чтобы подчеркнуть неподвижность контура, неизменность его пространственных координат. Тогда

$$\mathcal{E}_{инд} = -\frac{1}{c} \cdot \frac{\partial}{\partial t} \int_S d\Phi_B = -\frac{1}{c} \cdot \frac{\partial}{\partial t} \int_S (\vec{B}, d\vec{S}) = \int_S \left(-\frac{1}{c} \cdot \frac{\partial\vec{B}}{\partial t}, d\vec{S} \right).$$

Приравниваем два выражения для ЭДС индукции и получаем:

$$\int_S (rot(\vec{E}), d\vec{S}) = \int_S \left(-\frac{1}{c} \cdot \frac{\partial\vec{B}}{\partial t}, d\vec{S} \right) \Rightarrow \int_S (rot(\vec{E}))_n dS = \int_S \left(-\frac{1}{c} \cdot \frac{\partial\vec{B}}{\partial t} \right)_n dS,$$

где S — любая поверхность.

Пусть S — маленькая площадка, тогда интеграл можно заменить одним слагаемым:

$$(rot(\vec{E}))_n \cdot S = \left(-\frac{1}{c} \cdot \frac{\partial\vec{B}}{\partial t} \right)_n \cdot S \Rightarrow (rot(\vec{E}))_n = \left(-\frac{1}{c} \cdot \frac{\partial\vec{B}}{\partial t} \right)_n$$

для проекции на любое направление \vec{n} . Следовательно,

$$rot(\vec{E}) = -\frac{1}{c} \cdot \frac{\partial\vec{B}}{\partial t} \quad \text{— математическая формулировка интерпретации}$$

Максвелла закона электромагнитной индукции Фарадея.

$\frac{\partial \vec{B}}{\partial t} \neq 0$ — это только первый шаг к рассмотрению переменных

электромагнитных полей. Второй шаг (токи смещения) будет сделан позднее.

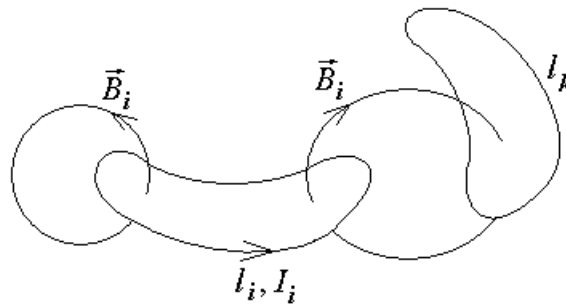
В электростатике $\text{rot}(\vec{E}) = 0$. Для переменных полей $\text{rot}(\vec{E}) \neq 0$ и поле \vec{E} — вихревое, не потенциальное поле.

Экзамен. Коэффициент взаимной индукции.

(в присутствии линейных магнетиков)

Линейность магнетика означает, что связь между векторами \vec{B} и \vec{H} линейна: $\vec{B} = \mu \vec{H}$.

Рассмотрим систему контуров и два контура из этой системы l_i и l_k .



Пусть в контуре l_i протекает ток I_i . Ток создает магнитное поле \vec{B}_i . Это поле пронизывает контур l_k .

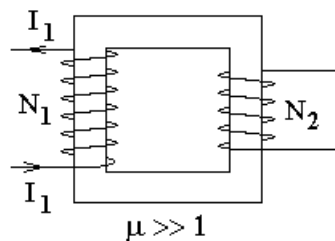
Пусть Φ_{ki} — поток магнитного поля \vec{B}_i через контур l_k .

$$\Phi_{ki} \sim B_i \sim I_i \quad \Rightarrow$$

$$\Phi_{ki} = L_{ki} \frac{I_i}{c} \quad \text{— определение коэффициента взаимной индукции } L_{ki}.$$

$$\text{В системе СИ: } \Phi_{ki} = L_{ki} I_i.$$

Экзамен. Коэффициент взаимной индукции двух катушек на общем сердечнике при $\mu \gg 1$.



Найдем коэффициент взаимной индукции L_{21} .

Схема решения задачи: $I_1 \rightarrow H_1 \rightarrow B_1 \rightarrow \Phi_{21} \rightarrow L_{21}$.

Коэффициент взаимной индукции L_{21} не зависит от величин токов в обеих обмотках.

Пусть в первичной обмотке протекает ток I_1 . Будем считать, что во вторичной обмотке тока нет. В линейном магнетике каждый ток создает свое магнитное поле независимо от других токов. Нас интересует магнитное поле, создаваемое только током I_1 .

Рассмотрим теорему о циркуляции напряженности магнитного поля

$$\oint_l H_1 dl = \frac{4\pi}{c} I$$

для контура интегрирования вдоль оси сердечника. Поле H во всех сечениях сердечника примерно одинаково и направлено по оси сердечника, поэтому для сердечника длиной l получим:

$$Hl = \frac{4\pi}{c} N_1 I_1 \quad \Rightarrow \quad H = \frac{4\pi N_1 I_1}{cl} \quad \Rightarrow \quad B = \mu H = \frac{4\pi\mu N_1 I_1}{cl}$$

\Rightarrow

$$\Phi_{21} = BS \cdot N_2 = \frac{4\pi\mu N_1 N_2 S}{l} \cdot \frac{I_1}{c}$$

Тогда с учетом определения коэффициента взаимной индукции

$$\Phi_{21} = L_{21} \frac{I_1}{c} \text{ получим}$$

$$L_{21} = \frac{4\pi\mu N_1 N_2 S}{l}$$

Заметим, что $L_{21} = L_{12}$.

$$\text{В системе СИ: } \oint_l H_1 dl = I \quad B = \mu_0 \mu \cdot H \quad \Phi_{21} = L_{21} I_1$$

$$L_{21} = \frac{\mu_0 \mu N_1 N_2 S}{l}.$$